УДК 551.252

Л. Н. ШАХБАТЯН

ХАРАКТЕРНЫЕ ОСОБЕННОСТИ МЕЛКОЙ ТРЕЩИНОВАТОСТИ ПОРОД АЛАВЕРДСКОГО РУДНОГО РАПОНА

Алавердский рудный район представляет область преимущественного развития различных по составу и формам колчеданных месторождении, залегающих в одинаковой или сходной геологической обстановке среди толщ вулканогенных пород юрского возраста [4]. В районе установлено также наличие медно-молибденового оруденения порфирового типа, при-уроченного к интрузивам послеверхнеюрского—предверхнемелового [4], по другим данным—эоценового [1] возраста.

В пределах района расположены наиболее значительные по размерам Алавердское и Шамлугское медноколчеданные, Ахтальское колчеданное барито-полиметаллическое и Техутское порфировое медно-молнбденовое месторождения, которые, вместе взятые, составляют потенциально перспективную рудоносную полосу Северной Армении. На этои полосе стратиграфически самыми нижними членами разреза являются андезитовые и дацитовые порфириты дебедской свиты, их лавовые и вулканические брекчии. В пределах участка Ахтальского месторождения под названными вулканогенными породами выходит горизонт так называемых «кварцевых порфиров» [4]. На породах дебедской свиты непосредственно налегают лапиллиевые и гравийные туфы, а также туфовые брекчии кошабердской свиты, которые в свою очередь перекрываются породами алаверди-шамлугской свиты. Последние представлены кератофирами, кварцевыми кератофирами, их туфами и вулканическими брекчиями, содержащими незначительные по мощности прослои известковистых песчаников. Разрез замыкается туфогенными и полимиктовыми песчаниками шахтатской свиты.

Перечисленные вулканогенные и вулканогенно-осадочные породы прорваны интрузивными и жильными образованиями, которые местами занимают до 30—80% пространства в строении участков. Интрузии в основном слагают штокообразные крупные массивы и представлены гранодиоритами, кварцевыми диоритами и другими разностями. Из жильных пород наибольшим распространением пользуются пластовые тела (силлы) и дайки «альбитофиров». Встречаются также дайки диабазов, диабазовых порфиритов, габбро-диабазов и аплитов.

Пространственное распределение эндогенных рудных месторождении района и их особенности определяются всей совокупностью геологических факторов и обусловливаются, в первую очередь, благоприятным сочетанием стратиграфо-литологических и структурных факторов. Последние в значительной степени контролируют и размещение отдельных рудных

тел, а также их форму и условия залегания в пределах месторождений [1, 3, 4].

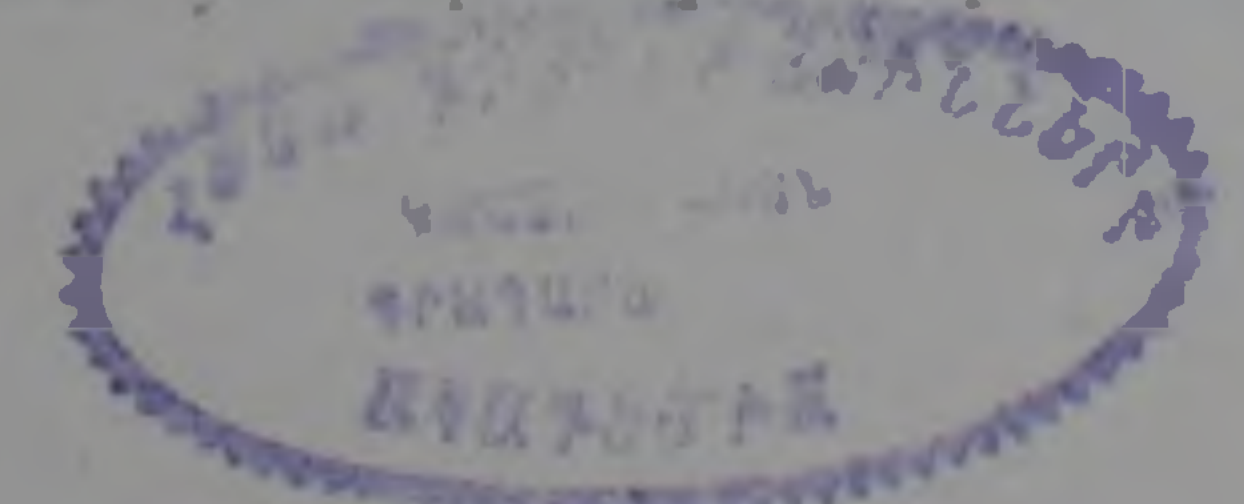
Не вдаваясь в подробности разбора роли всех факторов в рудообразовании, отметим, что структура Алавердского рудного района и его отдельных месторождений представляется очень сложной. Она характеризуется совокупностью складчатых форм различных порядков, сингенетичных с ними разрывных нарушений и межформационных зон отслаивания. Не менее сложна также пострудная тектоника месторождений. Отличительной чертой ее является не только образование определенного направления новых трещин, но и интенсивное наложение движений вдоль древних трещин (как более ослабленные направления), по когорым ранее развивались процессы рудоотложения. Все это обусловило возобновление трещиноватости и раздробленности в рудовмещающих породах и рудоконтролирующих структурах, «закрывшихся» до этого продуктами гидротермальной деятельности.

Из всего изложенного следует, что геологический разрез Алаверлского рудного района и его отдельных месторождений характеризуется пестротой состава слагающих вулканогенных пород и интрузивно-жильных образований, их частой перемежаемостью и трещиноватостью. Все это обусловливает анизотропность и большую сложность геолого-технических условий района в целом. Наибольшую сложность создает грещиноватость пород, вызывая не только технические и технологические осложнения, но и снижение выхода керна из-за его механического разрушения и последующего промывания в колонковом наборе в процессе бурения. Именно это и вызвало актуальность изучения характера трещиноватости пород, слагающих разрез Алавердского рудного района, и ее влияния на выход керна при проходке буровых скважин. Изучение этих вопросов входило в комплекс экспериментальных исследований поразработке рациональной технологии алмазного бурения. проведенных автором настоящей статьи под руководством профессора С. А. Волкова.

В рамках настоящей статьи автор ставит целью осветить лишь характер трещиноватости пород района, ибо разбор вопроса ее влияния на выход керна гребует отдельного, более детального разъяснения.

Исследования трещиноватости проводились по предложенной методике Е. А. Козловского [2]. Изучение трещин и характера их проявления производилось по типичным и наиболее распространенным литологическим разностям рудовмещающих пород.

В процессе полевых исследований трещины изучались в штольнях, шурфах, канавах, скважинах, искусственных врезах и естественных обнажениях. Изучались элементы залегания трещин, удельная и личейная трещиноватость и кусковатость керна. Удельная трещиноватость изучалась на 1 кв. дм площади вреза пород, а линейная трещиноватость и кусковатость керна—на і м бурения. Изучение последних трех показателей было вызвано необходимостью дать характеристику пород по степени трещиноватости. В численную характеристику этих показателей



вошла мелкая трещиноватость, представленная тектоническими трещинами сбросового, взбросового, взбросо-сдвигового и сдвигового характера, а также трещинами отдельности. Но и при этом в расчет не принимались «закрытые» трещины, которые, будучи заполненными кварцкарбонатной массой (близкой по физико-механическим свойствам к вмещающим породам), создавали монолитность пород и не влияли на анизотропность геологической ореды.

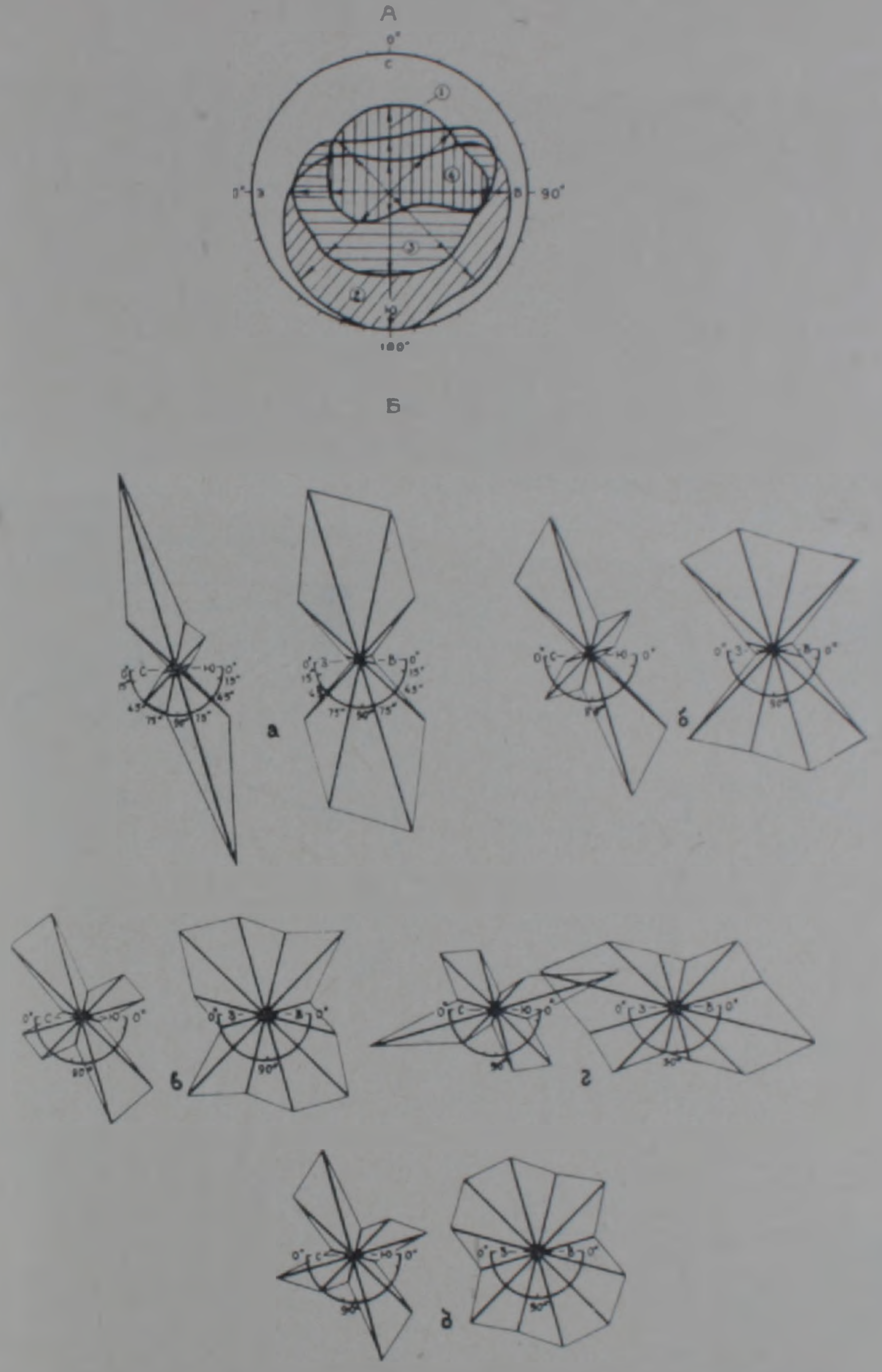
В период обработки материалов с учетом произведенных замеров и данных ранних документаций геологоразведочных выработок были составлены точечные круговые и розы-диаграммы распределения трещии по сторонам света и углам надения среди основных представителей пород литологического разреза района [2].

На точечных круговых днаграммах (фиг. 1) количество трещин отдельных направлений (по азимутам и средним углам падения) для всех представителей пород выражалось через вектор (пересекающиеся прямые линии—лучи векторов), ориентированный на определенную часть света. На розы-днаграммах углов падения трещин (фиг. 2) для отдельных пород количество трещин соответствующих классов выражалось лучами-векторами в процентах.

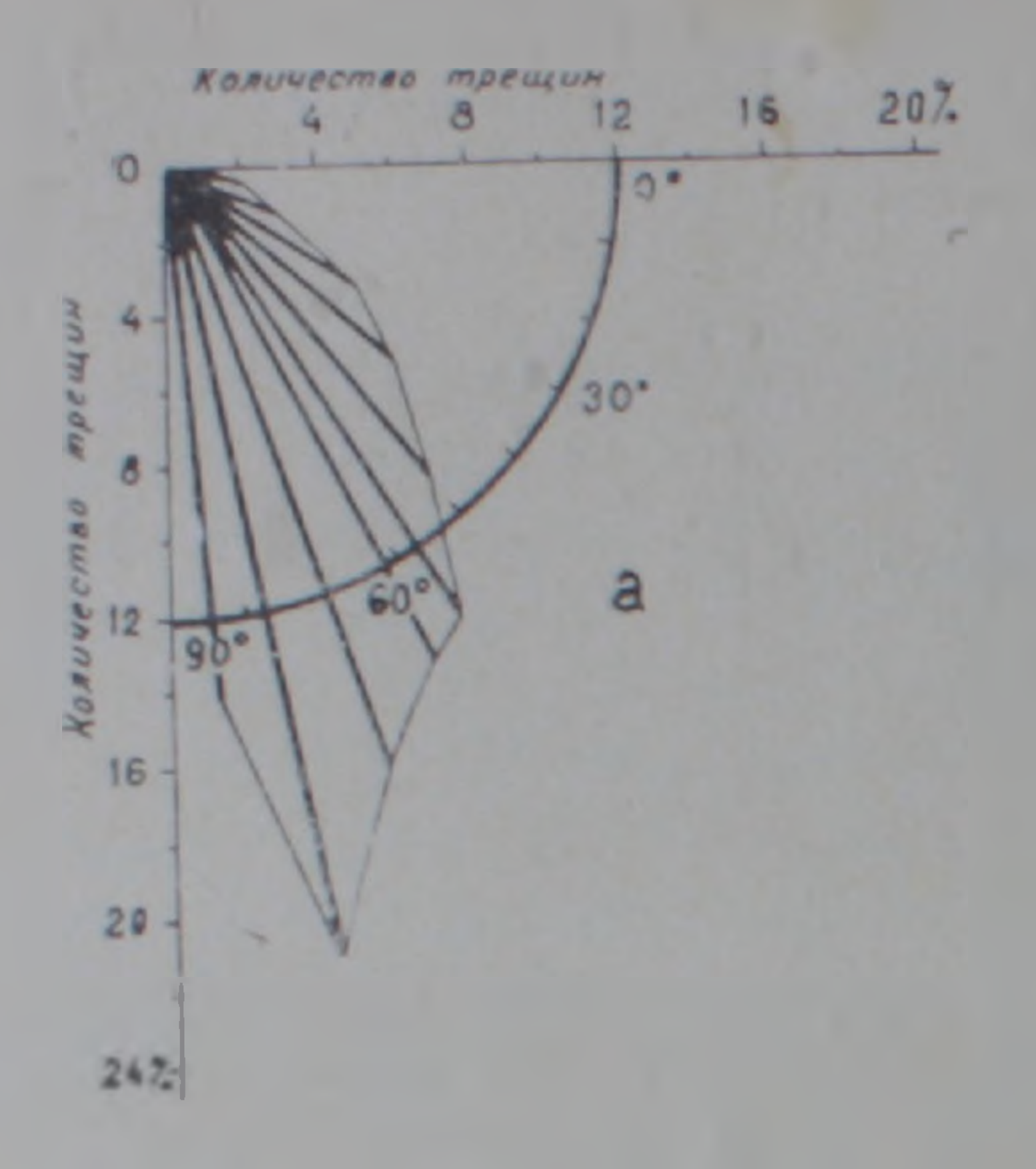
Проведенными исследованиями выявлено, что сложность структуры Алавердского рудного района, обусловленная ширэким развитием в его пределах разрывных нарушений и межформационных зон отслаиваний в тесной взаимосвязи со окладчатыми формами, находит свое отражение и в характере мелкой трещиноватости. Тем не менее, исследования и массовые замеры иллюстрируют преобладание в пределах рудного района определенных направлений систем трещин.

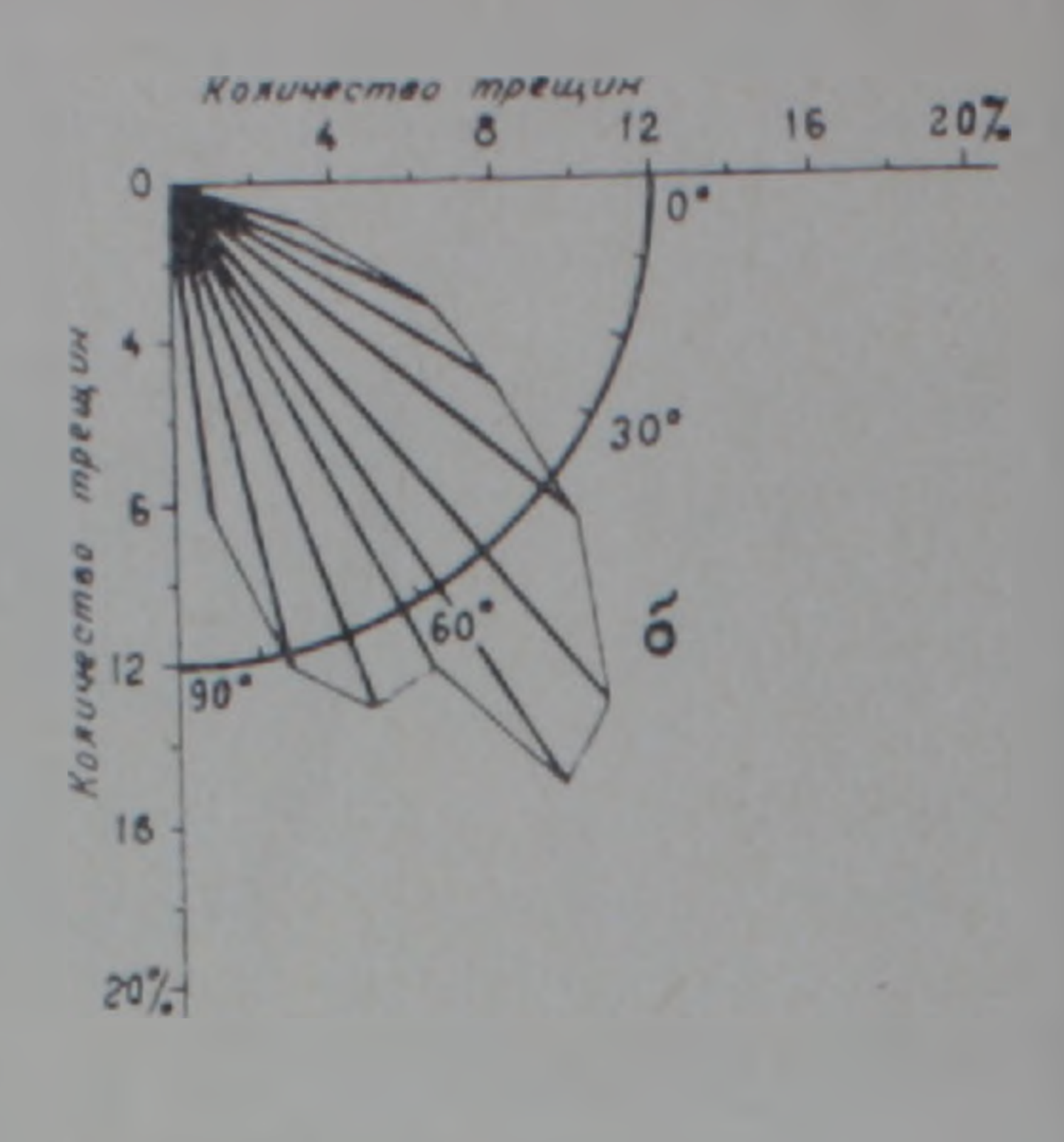
Различия в их пространственном распределении зависят от положения того или иного участка по отношению к крупным тектоническим струкгурам, а также от литологического состава различных пород.

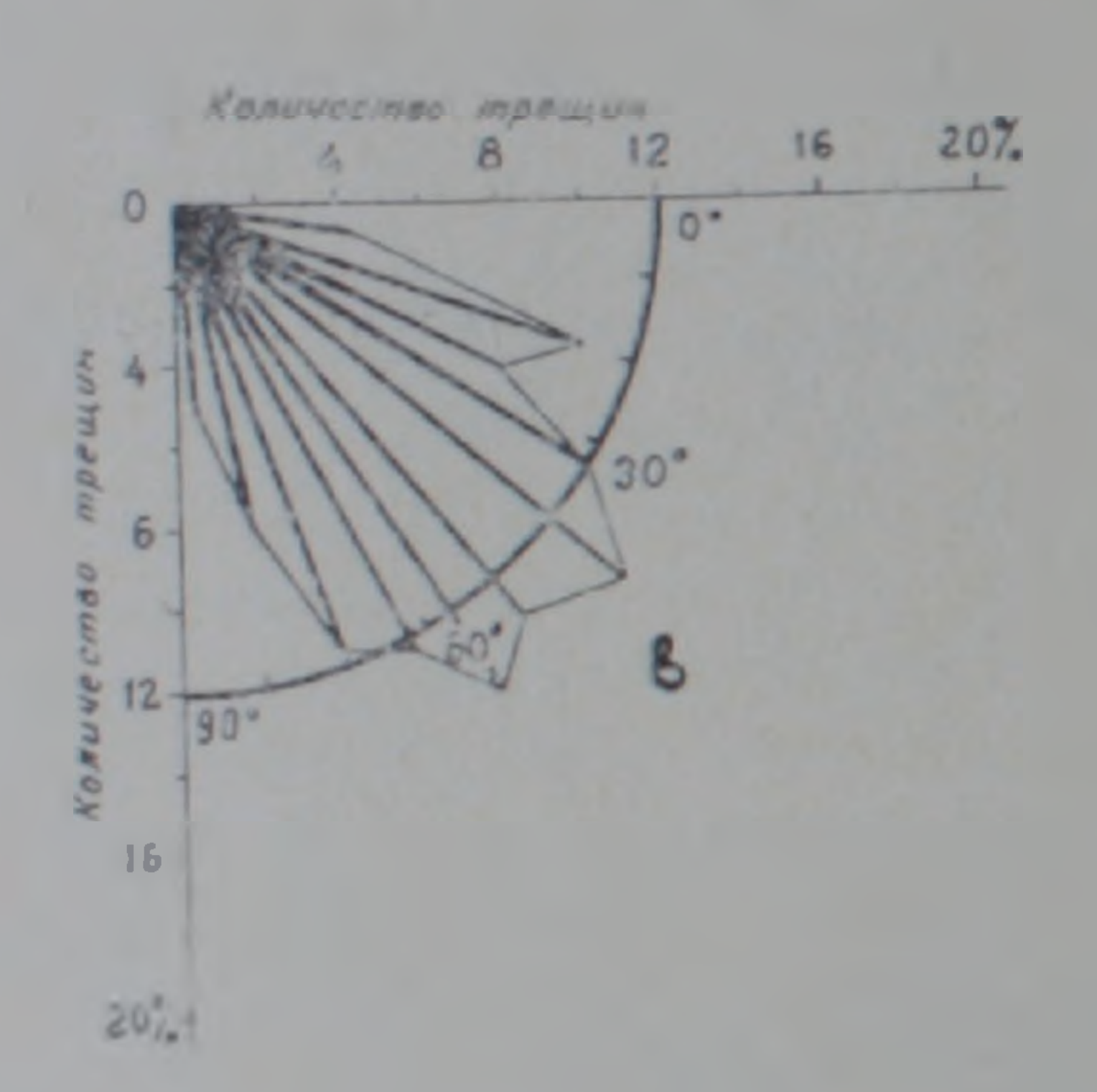
Многократными исследованиями [1, 3, 4] и личными наблюдениями автора установлено, что на общем фоне трещиноватости пород рудного района наиболее интенсивное проявление мелкой трещиноватости наблюдается на участках развития межформационных зон отслаивания, секущих разрывных нарушений и мелких антиклинальных поднятий, являющихся ярким проявлением раэрядки напряжений в процессе многоэтапной и длительной (ср. юра-эоцен) деформации района. Эги структурные элементы на всем своем протяжении сопровождаются параллельно и косо ориентированными системами мелкой трещиноватости, часто образуя зоны дробления пород мощностью от нескольких метэов до нескольких сотен метров (при сближении нескольких разрывных нарушений). Трещиноватость развита также в приконтактовых полосах зон дробления, но ее интенсивность по мере удаления от последних постепенно снижается и на расстоянии 30—40 и встречаются лишь единичные трещины.

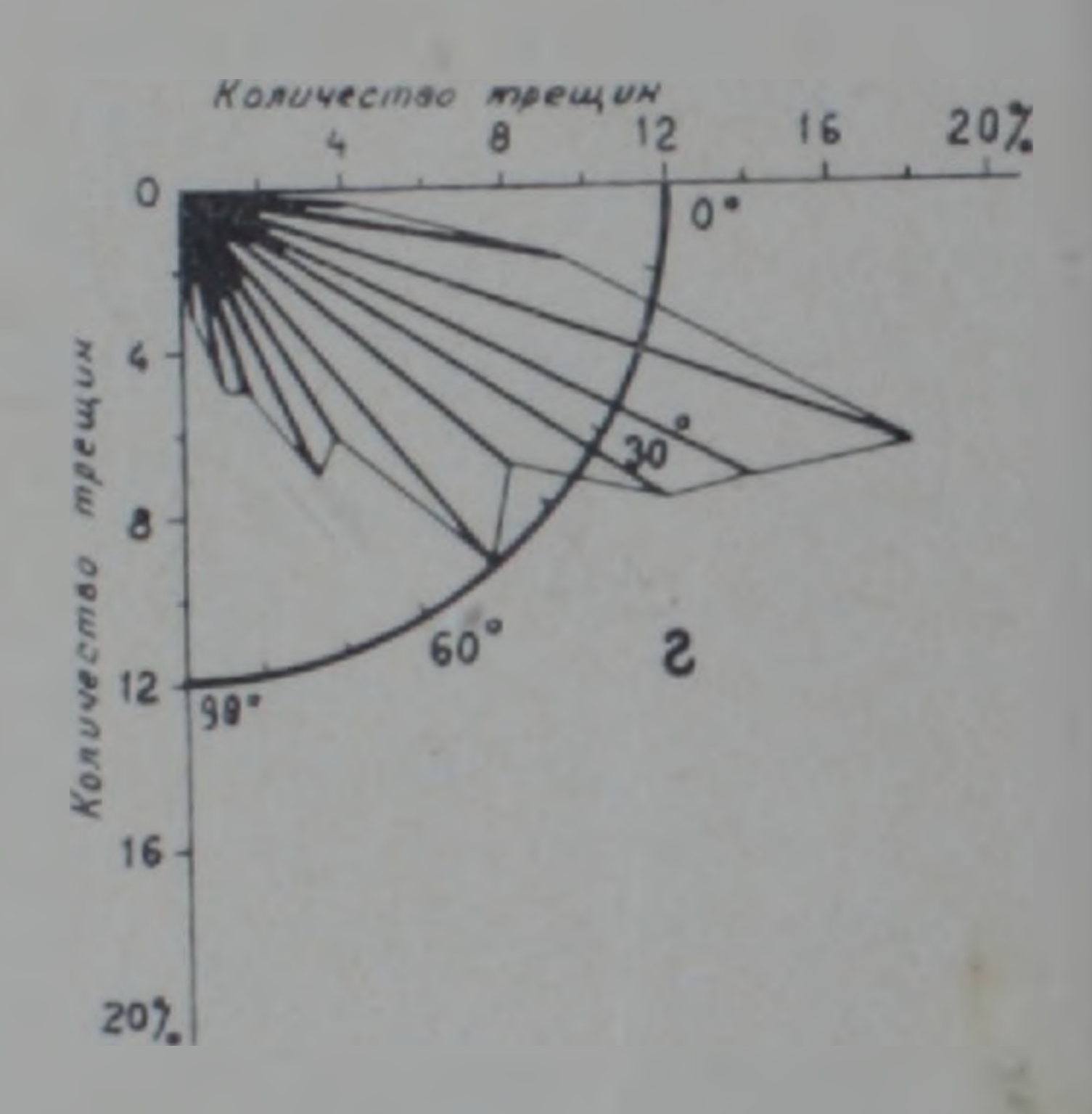


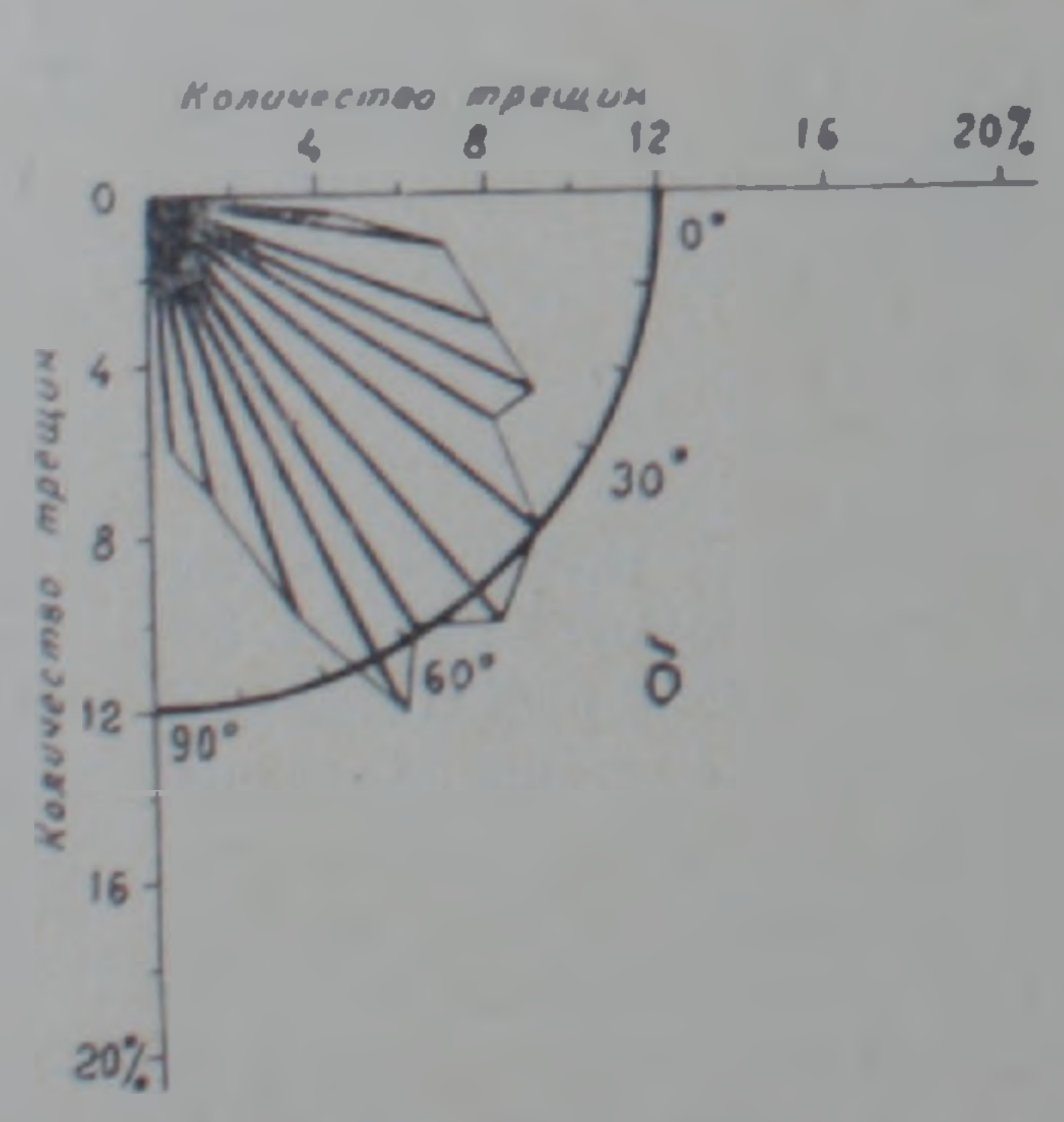
Фиг. 1. Диаграммы распределения трещин по элементам залегания. А—распределение трещин по азимутам падения 1—средние азимуты падения, 2—трещины с углами падения 90—60°, 3—трещины с углами падения 60—30°, 4—трещины с углами падения 30—0°. Б—распределение трещин по средним углам падения (75°, 45°, 15°) в: а—андезитовых и дацитовых порфиритах; б—лапиллиевых и гравинных туфах и туфовых брекчиях андезито-дацитовых порфиритов; в—кератофирах, кварцевых кератофирах и «кварцевых порфирах»; г—полимиктовых и туфогенных песчаниках; д—«альбитофирах и кварцевых диоритах.











Фиг. 2. Розы-днаграммы количества трещин разной крутизны: а—в андезитовых и дацитовых порфиритах; б—в лапиллиевых и гравийных туфах и туфовых брекчиях андезито-дацитовых порфиритов; в—в кератофирах, кваршевых кератофирах и кварцевых порфирах; г—в полимиктовых и туфогенных песчаниках; д—в альбитофирах и кварцевых диоритах.

Мелкие трещины имеют исключительно выдержанную ориентировку на больших площадях среди сходных по составу пород, а при переходе их в другую, резко отличающуюся литологическую среду, часто наблю дается заметная дезориентировка. Протяженность трещин достигает десятков метров, а зияние обычно не превышает долей миллиметра, редко достигая нескольких миллиметров.

В соответствии с направлением фиксируемых в районе пликативных структур, межформационных зон отслаивания и разрывных нарушений, выделяются соответствующие системы мелкой трещиноватости близмеридионального (340—20°), близширотного (70—110°), северо-восточного (20—60°) и северо-западного (300—340) простираний с южным и, отчасти, северным падением под углами 5—85° (фиг. 1, г). При этом, северные падения свойственны, главным образом, трещинам расслаивания, развитым в основном в породах верхних горизонтов стратиграфического разреза и в интрузивных и жильных образованиях.

Составленные розы-диаграммы углов падения трещин (фиг. 1-Б и 2) позволяют классифицировать трещины по геологическим условиям на крутопадающие—с углами падения 90—60° (в среднем 75°); пологопадающие—с углами падения 60—30° (в среднем 45°); близгоризонтальные—с углами падения 30—0° (в среднем 15°).

Обработка данных по трещиноватости, сведенных в таблицу I, показывает, что в стратиграфическом разрезе района сни-

Таблица 1 Данные по трещиноватости разных типов пород

Наименование пород	Соотношение трещин разной кругизны в ° о			ий таде-
	кругопадаю-	пологопа- дающне 60—30°	близгори- зонтальные 30—0°	Средн угол 1 ния тр
Апдезитовые и дацитовые порфири- ты и пр, Лапиллиевые и гравийные гуфы ан-	64	31	5	64
дезито-дацитовых порфиритов и пр. Кератофиры, кварцевые кератофи-	45	46	9	57
ры, кварцевые порфиры и пр.	35	43	22	49
ники Кварцевые диориты, альбитофиры и	20	3.5	45	38
пр.	35	37	28	47

зу вверх (за некоторым исключением кварцевых порфиров) наблюдается отчетливо выраженное выполаживание углов падения трещин. Если в низах разреза в общем преобладают крутопадающие трещины, то в верхах они имеют весьма подчиненное развитие против близгоризонтальных трещин. В середине разреза преобладают уже пологопадающие трещины (фиг. 1-Б и 2). Такое явление прежде всего следует объяснить различием в литологическом составе, а, следовательно, в физико-механических свойствах между вулканогенными породами инзов стратиграфического разреза с одной стороны, и толщи верхних туфо-

генных и полимиктовых песчаников-с другой. Первые, т. е. «кварцевые порфиры», андезито-дацитовые порфириты, их лапиллиевые и гравийные туфы, будучи сложенными сравнительно жесткими и хрупкими породами $(K_{\parallel \parallel} = 1 - 1,62)^{-1}$, в которых разрядка динамических напряжений выразилась преимущественно в появлении крутых разрывных нарушений и связанной с ними мелкой трещиноватости [4]. Песчаники же, обладая довольно высокими свойствами пластичности (Кп, =3,0-3 12) под действием тех же напряжений, подверглись главным образом изгибанию слоев в виде мелкой складчатости. При этом в них образовались пологие трещины расслоения и лишь редко-крутые тектонические трещины и трещины скалывания. Указанная разнородность одновременных дислокаций разных по физико-механическим свойствам пород обусловливала и сингенетичное с ними проскальзывание одних блоков относительно других на склонах куполовидных поднятий и образование близгоризонтальных межформационных зон отслаивания. Такие зоны были образованы главным образом на контакте кератофировых пород с перекрывающими туфогенными и полимиктовыми песчаниками и на контакте «кварцевых порфиров» с налегающими андезито-дацитовыми порфиритами. Именно появление межформационных зон движений при подходе к ним трещин, падающих круго относительно хрупких вулканогенных пород, и привело к их выполаживанию и переходу в близгоризонтальные трещины этслаивания. Довольно значительное количество близгоризонтальных трещин наблюдается также в интрузивных и жильных породах. Следует предполагать, что эти трещины возникли в основном при кристаллизации магмы, используя при этом существовавшие во вмещающих породах напривления трещиноватости [4].

Из всех данных иоследований следует, что вообще наиболее трещиноватыми в районе являются относительно хрупкие разновидности пород. Но при этом, изучение удельной трещиноватости и трещиноватости по керпу (линейная трещиноватость и кусковатость) показывает, что среди всех разновидностей пород наблюдаются одинаковые по степени трещиноватости участки, характеризующиеся также той или иной степенью гидротермальной переработки. Обычно наиболее трещиноватые участки приурочены к интервалам развития адиагностических разностей пород и приконтактовой части «альбитофиров» с другими породами, а менее трещиноватые—к мало измененным участкам всех литологических разностей пород. Неравномерность распределения трещиноватости позволяет условно выделить по крайней мере три группы по степени трещиноватости пород—слабо трещиноватые, трещиноватые и сильно трещановатые—раздробленные, характеристика которых приводится в таблице 2.

Управление геологин СМ Армянской ССР

Поступила 13.1V.1973.

¹ К_{пл.} — коэффициент пластичности, определенный в ВИТРе в комплексе с другими физико-механическими своиствами.

լ. Ի. ՇԱՀԲԱԹՅԱՆ

ԱԼԱՎԵՐԴՈՒ ՀԱՆՔԱՅԻՆ ՇՐՋԱՆԻ ԼԵՌՆԱՅԻՆ ԱՊԱՐՆԵՐԻ ՄԱՆԲ ՃԵՂՔԱՎՈՐՎԱԾՈՒԹՅԱՆ ԱՌԱՆՁՆԱՀԱՏԿՈՒԹՅՈՒՆՆԵՐԸ

Kuhnhnid

Ալավերդու հանքային շրջանի երկրաբանական կառուցվածքներում մասնակցում են ձեղքավորվածության տարբեր աստիձան ունեցող հրաբիային, երակային և ինտրուզիվ ապարներ։ Հանքային շրջանում համեմատաբար առավել հեղքավորված են հիմնականում թթու կազմ ունեցող փխրուն ապարները։ Միաժամանակ տեսակարար ձեղքավորվածության ուսումնասիրությունը ցույց է տալիս, որ ապարների բոլոր տարատեսակների մեջ էլ հանդիպում են ձեղքավորվածության միևնույն աստիձան ունեցող տեղամասեր, որոնք այս կամ այն չափով ենթարկված են նաև հիդրոթերմալ փոփոխության։ Ճեղքավորվածությունն առավել ինտենսիվ է հիղրոթերմալ ուժեղ փոփոխությունների ենթարկված և այբիտոֆիրների ու այլ ապարների կոնտակտային մասերում։

ձեղջավորվածության անհավասարաչափ տեղաբաշխումը հնարավորություն է տալիս Ալավերդու հանջային շրջանում ձեղջավորվածության ինտենսիվության աստիձանով առանձնացնել առնվազը երեք խմբի ապարներ՝ թույլ, միջին և խիստ ձեղջավորված։

ЛИТЕРАТУРА

- 1. Вартапетян Б. С. Закономерности распределения медного оруденения на территории Армянской ССР. Изд-во АН Арм. ССР, Ереван, 1965.
- 2. Волков С. А., Козловский Е. А., Алимбеков Б. Д. Трещиноватость пород и ее влияние на технико-экономическую эффективность алмазного бурения. ВИЭМС, ЭИ № 114, М., 1970.
- 3. Исаханян А. Е. Структурные условия локализации рудных тел на Шамлугском медноколчеданном месторождении. Пзвестия АН Арм. ССР, Науки о Земле, т. XXIII, № 6, Ереван, 1970.
- Сопко П. Ф. Геология колчеданных месторождений Алавердского рудного района.
 Изд-во АН Арм. ССР, Ереван, 1961.